

文章编号: 1000-0615(2017)09-1338-07

DOI: 10.11964/jfc.20160910560

核糖体DNA在厦门白姑鱼和大黄鱼染色体上的比较定位

廖梦香, 郑娇, 王志勇, 张静, 刘贤德, 蔡明夷*

(集美大学水产学院, 农业部东海海水健康养殖重点实验室, 福建厦门 361021)

摘要: 为了探究石首鱼核型微观结构上的变化, 实验利用荧光原位杂交(*fluorescence in situ hybridization*, FISH)比较定位了厦门白姑鱼和大黄鱼18S rDNA和5S rDNA的分布特征。结果表明, 厦门白姑鱼与大黄鱼在宏观核型以及18S rDNA和5S rDNA染色体分布等3个方面均存在较大差异。厦门白姑鱼的核型公式为 $2n=48t$, 臂数FN=48; 单对18S rDNA信号分布于1号染色体臂间; 单对5S rDNA信号分布于3号染色体近着丝粒区域。大黄鱼的核型公式为 $2n=2sm+4st+42t$, 臂数FN=50; 单对18S rDNA信号分布于18号染色体短臂端部; 5S rDNA信号9~11对, 除一对分布于臂间外, 其余全部分布于着丝粒端或短臂端部。综合其他石首鱼核型数据可以推断: 厦门白姑鱼呈现原始核型特征, 而大黄鱼核型是原始核型经染色体重排和/或转座衍生的特化核型; 石首鱼宏观核型和18S rDNA分布模式总体保守, 仅少数物种存在变化, 而5S rDNA位点的分布模式存在高度的种间变化。本研究首次揭示了石首鱼物种间核型微观结构的变化, 为进一步开展石首鱼分子细胞遗传学研究奠定了基础。

关键词: 厦门白姑鱼; 大黄鱼; 染色体; 荧光原位杂交; rDNA

中图分类号: Q 785; S 965

文献标志码: A

染色体是遗传信息的载体。染色体变异是推动物种发生和生物进化的重要原因之一^[1]。因此, 比较近缘物种间的核型差异, 可以研究物种间核型进化规律, 并为物种鉴定和系统发生树构建提供依据, 也可为遗传育种及相关理论研究提供基础数据。石首鱼科(Sciaenidae)隶属鲈形目(Perciformes), 在全世界范围内约有67个属283个种, 在中国海域分布有17个属30多个种, 其中许多种类是重要的捕捞对象或养殖对象^[2-3]。迄今, 报道过核型的石首鱼约38种, 主要集中于核型简单描述与NOR定位^[4]。相对于快速发展的分子生物学、基因组学和育种实践, 石首鱼染色体研究已明显滞后。

荧光原位杂交(*fluorescence in situ hybridization*, FISH)是20世纪80年代发展起来细胞遗传学分析工具, 近年来逐步应用于鱼类细胞遗传学研

究, 为研究鱼类染色体形态、结构与功能提供新的机遇和可能。郑娇等^[5]首次应用双色FISH同时定位黄姑鱼18S和5S rDNA位置, 但应用FISH进行石首鱼物种间核型比较的研究尚未见报道。因而, 本实验拟利用双色FISH技术, 在厦门白姑鱼(*Argyrosomus amoyensis*)和大黄鱼(*Larimichthys crocea*)染色体上比较定位18S rDNA和5S rDNA, 探究石首鱼染色体微观结构上的变化, 查找适合石首鱼染色体进化的细胞遗传学标记, 为开展石首鱼染色体进化及染色体水平的系统发生奠定基础。

1 材料与方法

1.1 样品的采集和染色体的制备

厦门白姑鱼和大黄鱼活体材料采自宁德市

收稿日期: 2016-09-27 修回日期: 2016-11-25

资助项目: 国家自然科学基金(31272653); 福建省自然基金(2017J01449); 全球变化与海气相互作用专项(GASI-02-SCS-YSWaut, GASI-02-SCS-YSWspr)

通信作者: 蔡明夷, E-mail: myicai@jmu.edu.cn

横屿岛水产有限公司养殖群体, 雌雄各5尾。取头肾制备有丝分裂的染色体制片, 方法参考陈紫莹等^[6]的描述。

1.2 荧光原位杂交

厦门白姑鱼和大黄鱼的18S rDNA的部分编码序列及5S rDNA的全部编码区和间隔区序列通过PCR及分子克隆获得。18S rDNA的引物F (5'-CGCGCAAATTACCCACTCCC-3')和R (5'-CTGAACGCCACTTGTCCCT-3')是根据多种鱼类的18S rDNA序列的保守区域设计。5S rDNA引物F (5'-GTCAGGCCTGGTTAGTACTTGGAT-3')和R (5'-GGGCGCATTCAAGGGTGGTAT-3')根据石首鱼科的5S rDNA编码区保守序列设计。PCR和分子克隆的方法同郑娇等^[5]的描述。扩增获得的18S和5S rDNA用缺口平移法制备地高辛或生物素标记探针。

FISH的程序依据文献^[7-8]的描述, 具体为: 染色体制片在70 °C 70%的甲酰胺/2×SSC变性2 min后, 系列乙醇中脱水; 探针加入杂交缓冲液(5%牛血清白蛋白、50%的硫酸葡聚盐、20×SSC)中, 加热变性后滴加在染色体制片上, 置于37 °C湿盒中杂交过夜; 杂交结束后, 制片在37 °C 50%甲酰胺/2×SSC中洗20 min, 2×SSC和1×SSC中各洗20 min, 4×SSC中洗5 min; 再用抗体地高辛-罗丹明(Roche)和抗生物素-Alexa fluor-488(Invitrogen)分别来显示探针上的地高辛标记和生物素标记; 用含DAPI或PI抗荧光衰减封片剂封片。

1.3 显微镜观察和图像处理

用荧光显微镜(Olympus BX53)观察制片, 用CCD拍照(Olympus DP80), 分散良好的中期相染色体图片用Photoshop CS6软件排列。

2 结果

利用单色FISH和双色FISH显示厦门白姑鱼和大黄鱼中期染色体上18S和5S rDNA所在位置(图版-1~6)。染色体按降序排列出核型图(图版-7, 8)结果显示, 厦门白姑鱼和大黄鱼的核型均包括48条染色体。其中, 厦门白姑鱼的染色体全部为端部着丝粒染色体, 核型公式为 $2n=48t$, FN=48。大黄鱼存在明显的双臂染色体, 如18号染色体, 核型公式为 $2n=2sm+4st+42t$, 臂数

FN=50(图版-8)。

18S rDNA FISH结果显示, 厦门白姑鱼和大黄鱼染色体上均只有一对18S rDNA信号, 但分布于不同位置。厦门白姑鱼的18S rDNA信号分布于规格最大的1号染色体臂间(图版-1, 7), 而大黄鱼的18S rDNA信号分布于中等规格的18号染色体(sm)染色体短臂端部(图版-4, 8)。此外, 在两个物种中均可观察到, 18S rDNA信号的强度在同源染色体间存在变异。

5S rDNA FISH显示, 厦门白姑鱼和大黄鱼5S rDNA信号的分布模式存在较大差异, 体现在位点数目及分布位置上。厦门白姑鱼只有一对5S rDNA信号, 位于3号染色体近着丝粒区域, 信号强度在同源染色体间存在差异(图版-2, 7)。大黄鱼的5S rDNA信号有9~11对, 其中3对强阳性信号分布于1~3号染色体着丝粒端, 一对次强度信号分布于11号染色体着丝粒端, 其余5~7对信号强度较弱, 且在同源染色体间及不同中期相间存在变异(图版-5, 8)。双色FISH显示, 厦门白姑鱼和大黄鱼的两种rDNA均不具有同线性(图版-3, 6)。

3 讨论

石首鱼科核型具有较高的稳定性。已报道过核型的石首鱼约38种, 其中31种的核型公式为 $2n=48t$ ^[4]。根据原始性状的普遍性原则可以推断, $2n=48t$ 是石首鱼科的原始核型。厦门白姑鱼的核型公式为 $2n=48t$, FN=48, 与石首鱼科的原始核型一致。大黄鱼核型为 $2n=2sm+4st+42t$, 含有明显的双臂染色体, 是由原始核型经染色体重组后形成的特化核型。双臂染色体还见于沙犬牙石首鱼(*Cynoscion arenarius*)^[9]、云纹犬牙石首鱼(*C. nebulosus*)^[9]、蒙氏异鳞石首鱼(*Plagioscion montei*)^[4]和短须石首鱼(*Umbrina coroides*)^[10]等其他4种石首鱼的核型中。形态和分子系统发生研究结果显示, 黄鱼属、犬牙石首鱼、异鳞石首鱼属在系统发生上属于不同的分支, 但均为最近分化的属^[11]。可见, 染色体重组在石首鱼不同的进化分支上独立发生, 并可能与石首鱼最近的物种发生事件相关。

rDNA是最常用的分子细胞遗传学标记之一。在真核生物中, rDNA包括两种独立的基因簇, 重复单元分别为45S rDNA和5S rDNA。其中, 45S rDNA编码28S rRNA、18S rRNA和5.8S

*rRNA*基因, 45S *rDNA*的位置可以用其中部分序列(如18S *rDNA*)作探针进行FISH定位, 也可通过硝酸银染色或CMA3染色显示^[12]。目前开展过18S *rDNA*(或NOR)定位的石首鱼共12种(包括厦门白姑鱼和大黄鱼), 全部为单一位点(表1)。保守的单一45S *rDNA*位点也是鲈形目核型的特

点^[20]。分布位置上, 染色体臂间近着丝粒区域是石首鱼18S *rDNA*(或NOR)分布的主流模式, 但大黄鱼中表现为特化的端部分布模式, 同样端部分布的还有斑点蛇石首鱼(*Ophioscion punctatissimus*) (表1)。这一结果再次证明, 某些石首鱼进化过程中曾发生过染色体重组。

表1 石首鱼科*rDNA*的染色体分布

Tab. 1 Chromosomal organization of *rDNA* in Sciaenidae

物种 species	核型 karyotype	NOR(或45S <i>rDNA</i>)		5S <i>rDNA</i>		共线性 synteny	参考文献 reference
		NOR(or 45S <i>rDNA</i>) 对数 pair	位置 location	5S <i>rDNA</i> 对数 pair	位置 location		
厦门白姑鱼 <i>A. amoyensis</i>	48t	1	1st, PRX	1	3th, TER	N	本研究 this study
大黄鱼 <i>L. crocea</i>	2sm+4st+42t	1	18th, TER	9~10	-	N	本研究 this study
美洲无鳔石首鱼 <i>Menticirrhus americanus</i>	48t	1	1st, PRX	-	-	-	[13]
海湾无鳔石首鱼 <i>M. littoralis</i>	48t	1	-	-	-	-	[14]
弗氏绒须石首鱼 <i>Micropogonias furnieri</i>	48t	1	-	-	-	-	[15]
箕作黄姑鱼 <i>Nibea mitsukurii</i>	48t	1	1st, PRX	-	-	-	[16]
黄姑鱼 <i>N. albiflora</i>	48t	1	1st, PRX	2	1 st , TER; 4 th , STL	Y	[5]
斑点蛇石首鱼 <i>Ophioscion punctatissimus</i>	48t	1	10th, TER	-	-	-	[17]
锐高鳍鱲 <i>Pareques acuminatus</i>	48t	1	2nd, PRX	-	-	-	[17]
蒙氏异鳞石首鱼 <i>P. montei</i>	2m+46t	1	-	-	-	-	[4]
巴西异鳞石首鱼 <i>P. squamosissimus</i>	48t	1	24th, PRX	-	-	-	[18]
眼斑拟石首鱼 <i>Sciaenops ocellatus</i>	48t	1	1st, PRX	1	PRX	Y	[19]

注: 相对位置参考Gornug^[20], TER=近端着丝粒染色体的着丝粒末端或p臂的末端, PRX=近端的。“-”代表没有相关数据。Y: 是, N: 否
Notes: TER=centromeric termini of acrocentric chromosomes or terminal on the p-arms, PRX = proximal, referring to the Gornug^[20]. “-” indicates that the data are not yet available. Y: Yes, N: No

相对于18S *rDNA*定位, 鱼类5S *rDNA*定位的研究较少。现有数据初步显示, 鱼类5S *rDNA*分布总体上较为保守, 89.7%位于臂间^[21]。然而, 石首鱼5S *rDNA*分布位置呈现出很大的种间差异: 大黄鱼有9~11对信号; 黄姑鱼有2对信号; 厦门白姑鱼和眼斑拟石首鱼均有1对信号, 但与18S *rDNA*的同线性存在差异(表1)。导致*rDNA*分布种间差异的机制可能是转座子的作用或同源染色不平衡交换等^[22-24]。综合石首鱼宏观核型和18S *rDNA*分布总体保守的特点, 初步推测, 转座子的作用可能是导致石首鱼5S *rDNA*分布模式种间高度变化的主要因素。

值得注意的是, 无论是在大黄鱼还是在厦

门白姑鱼中均观察到2种*rDNA*信号的强度在同源染色体间存在变异。*rDNA*位点串联重复的属性使其易成为重组热点^[25], 而且*rDNA*常与富含重复序列的异染色质相关联, 也会促进*rDNA*位点及其邻近区域易发生不平衡交换, 导致*rDNA*重复单元拷贝数变化、染色体异态^[26]。因此, *rDNA*位点相关的染色体异态在鱼类中较为常见^[27-28]。与*rDNA*相关联的染色体异态可能导致大黄鱼核型变异的重要原因(表2)。大黄鱼核型可能存在较高水平的群体间或群体内的变异。事实上, 王德祥等^[32]在舟山塘头育苗场岱衢族和连江养殖群体间曾观察到核型变异。大黄鱼核型的多态是否与其端部分布的*rDNA*位点多的特性关联, 值得后续进一步研究。

表2 大黄鱼染色体核型研究结果汇总

Tab. 2 Summary of karyotype of *L. crocea*

材料来源 source of materials	核型公式 karyotype	参考文献 reference
宁德养殖群体基地 breeding base of Ningde	2n=2sm+4st+42t	[6]
厦门火烧屿养殖基地 breeding base of Huoshaoyu Xiamen	2n=48t	[29]
官井洋海区 the sea of Guanjingyang	2n=2st+46t	[30]
舟山塘头育苗场(岱衢族) the hatchery of Dajiu stock of Tangtou Zhoushan	2n=48t	[31]
连江养殖基地 breeding base of Lianjiang	2n=6m+6sm+36st	[32]
舟山养殖基地 breeding base of Zhoushan	2n=6st+42t	[19]

综上所述, 厦门白姑鱼与大黄鱼在宏观核型、18S rDNA分布和5S rDNA分布等3个方面均存在较大差异, 厦门白姑鱼表现出原始核型特征, 而大黄鱼表现出特化核型特征, 与两物种在系统发生中相对位置相符。综合其他石首鱼的研究资料显示, 石首鱼宏观核型和18S rDNA分布总体保守, 仅少数物种存在变化, 而5S rDNA位点的分布模式存在高度的种间变化。转座子可能是导致石首鱼核型微观结构剧烈变动的重要原因。开发更多分子细胞遗传标记, 特别是与转座子相关的细胞遗传学标记, 同时进一步拓展研究对象范围, 可以更全面地展示石首鱼核型的微观变化, 揭示导致这些变化的机制及其在石首鱼进化中的作用。

参考文献:

- [1] Kitano J, Ross J A, Mori S, et al. A role for a neo-sex chromosome in stickleback speciation[J]. Nature, 2009, 461: 1079-1083.
- [2] Nelson J S, Grande T C, Wilson MVH. Fishes of the world [M]. 5rd ed. New York: John Wiley and Sons Inc., 2016.
- [3] 朱元鼎, 张春霖, 成庆泰. 东海鱼类志[M]. 北京: 科学出版社, 1963, 268-293.
Zhu Y D, Zhang C L, Cheng Q T. The fishes of the East China Sea[M]. Beijing: Science Press, 1963, 268-293(in Chinese).
- [4] Arai R. Fish karyotypes: A Check List[M]. Tokyo: Springer Science & Business Media, 2011.
- [5] 郑娇, 曹款, 杨安冉, 等. 黄姑鱼染色体识别与重复序列定位[J]. 水产学报, 2016, 40(8): 1156-1162.
Zheng J, Cao K, Yang A R, et al. Chromosome painting
- using genomic DNA and repetitive DNA sequences as probes for somatic chromosome identification in *Nibea albiflora*[J]. Journal of Fisheries of China, 2016, 40(8): 1156-1162(in Chinese).
- [6] 陈紫瑩. 大黄鱼与黄姑鱼细胞遗传学初步研究[D]. 厦门: 集美大学, 2013.
Chen Z Y. Cytogenetic study on *Larimichthys crocea* and *Nibea albiflora* [D]. Xiamen: Fisheries college of Jimei University, 2013(in Chinese).
- [7] Fujiwara A, Abe S, Yamaha E, et al. Uniparental chromosome elimination in the early embryogenesis of the inviable salmonid hybrids between masu salmon female and rainbow trout male[J]. Chromosoma, 1997, 106(1): 44-52.
- [8] 蔡明夷, 刘贤德, 陈紫瑩, 等. 皱纹盘鲍染色体C带和rDNA定位[J]. 水产学报, 2013(7): 1002-1008.
Cai M Y, Liu X D, Cheng Z Y, et al. Characterization of Pacific abalone (*Haliotis discus hawaii*) karyotype by C banding and fluorescence *in situ* hybridization with rDNA[J]. Journal of Fisheries of China, 2013(7): 1002-1008(in Chinese).
- [9] Fitzsimons J M, Rogers J S, Cashner R C. Karyologic and electrophoretic studies of the genus *Cynoscion* (Sciaenidae, Perciformes) from the northern gulf of Mexico[J]. Japanese Journal of Ichthyology, 1985, 31(4): 444-448.
- [10] Brum M J I. Cytogenetic studies of Brazilian marine fish[J]. Brazilian Journal of Genetics, 1996, 19(3): 421-427.
- [11] Santos S, de Fátima Gomes M, dos Santos Ferreira A R, et al. Molecular phylogeny of the western South Atlantic Sciaenidae based on mitochondrial and nuclear data[J]. Molecular Phylogenetics and Evolution, 2013, 66(1): 423-428.
- [12] Yoshida M C. Chromosomal localization and heterochromatin association of ribosomal RNA gene loci and silver-stained nucleolar organizer regions in salmonid fishes[J]. Chromosome Research, 1998, 6: 463-471.
- [13] Gomes V, Vazzoler A E A D M, Phan V N. Estudos cariotípicos de peixes da família Sciaenidae (Teleostei, Perciformes) da região de Cananéia, SP, Brasil: 2. sobre o cariotípico de *Menticirrhus americanus* (Linnaeus, 1758)[J]. Brazilian Journal of Oceanography, 1983, 32(2): 187-191.
- [14] Reggi R, Périco E, Suninsky M, et al. Estudos citogenéticos em papa-terra, *Menticirrhus litoralis*

- (Perciformes, Serranidae)[J]. Simpósio de Citogenética Evolutiva e Aplicada de Peixes Neotropicais, Botucatu, SP. Unesp, Botucatu, 1986, 57.
- [15] Gomes V, Vazzoler A E A D M, Phan V N. Estudos cariotípicos de peixes da família Sciaenidae (Teleostei Perciformes) da região de Cananéia, SP, Brasil: 1. sobre o cariótipo de *Micropogonias furnieri* (Desmarest, 1823)[J]. Boletim Do Instituto Oceanográfico, 1983, 32(2): 137-142.
- [16] Ojima Y, Kikuno T. Karyotypes of a Gobiesociform and two Perciform fishes (Teleostei)[J]. Proceedings of the Japan Academy Ser B Physical & Biological Sciences, 1987, 63(6): 201-204.
- [17] Accioly I V, Molina W F. Cytogenetic studies in Brazilian marine Sciaenidae and Sparidae fishes (Perciformes)[J]. Genetics & Molecular Research, 2008, 7(2): 358-370.
- [18] Feldberg E, Porto J I R, Santos E B P, et al. Cytogenetic studies of two freshwater sciaenids of the genus *Plagioscion* (Perciformes, Sciaenidae) from the central Amazon[J]. Genetics & Molecular Biology, 1999, 446(7132): 211-214.
- [19] 王晓艳. 东海区常见养殖鱼类染色体核型研究[D]. 舟山: 浙江海洋学院, 2012.
- Wang X Y. Chromosome karyotypic analyses of some cultured fishes of the East China Sea[D]. Zhoushan: University of Zhejiang Ocean, 2012 (in Chinese).
- [20] Gornung E. Twenty years of physical mapping of major ribosomal RNA genes across the teleosts: A review of research[J]. Cytogenetic & Genome Research, 2013, 141(2-3): 90-102.
- [21] Martins C, Wasko A P. Organization and evolution of 5S ribosomal DNA in the fish genome[J]. Focus on Genome Research, 2004: 335-363.
- [22] Coen E S, Dover G A. Unequal exchanges and the coevolution of X and Y rDNA arrays in *Drosophila melanogaster*[J]. Cell, 1983, 33(3): 849-855.
- [23] Cioffi M B, Martins C, Bertollo L A C. Chromosome spreading of associated transposable elements and ribosomal DNA in the fish *Erythrinus erythrinus*: Implications for genome change and karyoevolution in fish[J]. Bmc Evolutionary Biology, 2010, 10(1694): 271.
- [24] Merlo M A, Cross I, Manchado M, et al. The 5S rDNA high dynamism in *Diplodus sargus* is a transposon-mediated mechanism: Comparison with other multigene families and Sparidae species[J]. Journal of Molecular Evolution, 2013, 76(3): 83-97.
- [25] Sola L, Gornung E, Naoi H, et al. FISH-mapping of 18S ribosomal RNA genes and telomeric sequences in the Japanese bitterlings *Rhodeus ocellatus kurumeus* and *Tanakia limbata* (Pisces, Cyprinidae) reveals significant cytogenetic differences in morphologically similar karyotypes[J]. Genetica, 2003, 119(1): 99-106.
- [26] Coghlan A, Eichler E E, Oliver S G, et al. Chromosome evolution in eukaryotes: a multi-kingdom perspective[J]. Trends in Genetics, 2005, 21(12): 673-682.
- [27] Pendás A M, Morán P, GarcíaVázquez E. Ribosomal RNA genes are interspersed throughout a heterochromatic chromosome arm in Atlantic salmon[J]. Cytogenetics & Cell Genetics, 1993, 63(2): 128-130.
- [28] Pisano E, Ghigliotti L. Ribosomal genes in notothenioid fishes: focus on the chromosomal organisation[J]. Marine Genomics, 2009, 2(1): 75-80.
- [29] 吴建绍, 林琪, 曾志南. 大黄鱼(*Pseudosciaena crocea*)的染色体研究[J]. 福建水产, 2001, 12(4): 60-63.
- Wu J S, Lin Q, Zeng Z N. The chromosome study of *Pseudosciaena crocea*[J]. Journal of Fujian Fisheries, 2001, 12(4): 60-63.
- [30] 全成干, 王军, 丁少雄等. 大黄鱼染色体核型研究[J]. 厦门大学学报(自然科学版), 2000, 39(1): 107-110.
- Quan C G, Wang J, Ding S X, et al. The karyotypes of *Pseudosciaena crocea* (Richardson)[J]. Journal of Xiamen University (Natural Science), 2000, 39(1): 107-110.
- [31] 邹曙明, 李思发, 赵金良, 等. 福建官井洋海区大黄鱼的染色体核型分析[J]. 上海水产大学学报, 2003, 12(2): 179-181.
- Zou S M, Li S F, Zhao J L, et al. Karyotype of *Pseudosciaena crocea* in Guanjingyang of Fujian[J]. Journal of Shanghai Fisheries University, 2003, 12(2): 179-181(in Chinese).
- [32] 王德祥, 苏永全, 王世锋, 等. 不同地理种群大黄鱼染色体核型的比较研究[J]. 海洋学报, 2006, 28(6): 176-178.
- Wang D X, Su Y Q, Wang S F, et al. The karyotypes and their polymorphisms of the *Pseudosciaena crocea* from different populations[J]. Acta Oceanologica Sinica, 2006, 28(6): 176-178(in Chinese).

Comparison of chromosome mapping of rDNA between *Argyrosomus amoyensis* and *Larimichthys crocea*

LIAO Mengxiang, ZHENG Jiao, WANG Zhiyong, ZHANG Jing, LIU Xiande, CAI Mingyi *

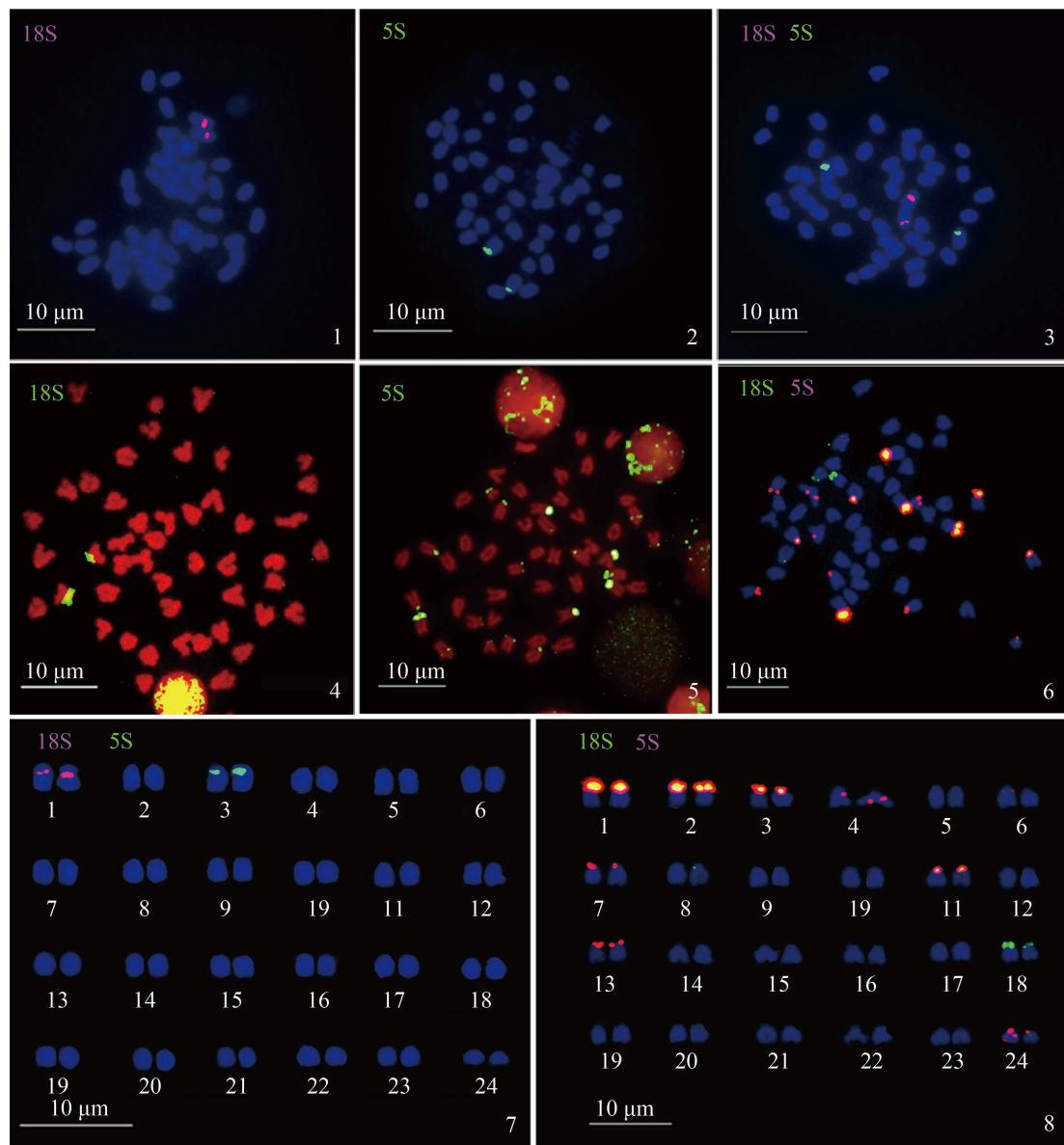
(The Key Laboratory of Healthy Mariculture for the East China Sea, Ministry of Agriculture,
Fisheries College, Jimei University, Xiamen 361021, China)

Abstract: Ribosomal DNAs were mapped comparatively with fluorescence *in situ* hybridization (FISH) in *Argyrosomus amoyensis* and *Larimichthys crocea* to explore the variations of karyotype microstructure among Sciaenids. The results showed that the karyotypes were quite different between *A. amoyensis* and *L. crocea* referring to macrokaryotype, and distribution mode of 18S rDNAs and 5S rDNAs. In *A. amoyensis*, the karyotype is 2n=48t (FN = 48); single pair of 18S rDNA signals were mapped at interstitial region of Chromosome 1; and single pair of 5S rDNA signals were located at proximal region of Chromosome 3. In *L. crocea*, the karyotype is 2n=2sm+4st+42t (FN = 50); single pair of 18S rDNA signals were mapped at terminal region of short arm of Chromosome 18; and 9~11 pairs of 5S rDNA signals distributed mostly on centromeric termini of acrocentric chromosomes or terminal on the short arms. Together with the available cytogenetic data of Sciaenids, the following conclusions were drawn: (1) the karyotype of *A. amoyensis* represents characteristics of ancestral karyotype in Sciaenidae, while the karyotype of *L. crocea* was derived from the ancestral karyotype through rearrangement and transposition; (2) the macrokaryotype and the location of 18S rDNA sites were rather conservative in Sciaenidae with several exceptions, while the 5S rDNA sites varied dynamically among species. Hence, further studies to investigate microstructure variations of karyotypes among Sciaenid species with FISH should be encouraged.

Key words: *Argyrosomus amoyensis*; *Larimichthys crocea*; chromosome; fluorescence *in situ* hybridization; rDNA

Corresponding author: CAI Mingyi. E-mail: myicai@jmu.edu.cn

Funding projects: National Natural Science Foundation of China (31272653); Natural Science Foundation of Fujian Province(2017J01449); Global Change and Air Sea Interaction (GASI-02-SCS-YSWaut, GASI-02-SCS-YSWspr)



图版 rDNA在厦门白姑鱼和大黄鱼染色体上的比较定位

1, 2, 3: 厦门白姑鱼中期相; 4, 5, 6: 大黄鱼中期相; 7: 厦门白姑鱼核型; 8: 大黄鱼核型; 18S: 18S rDNA, 5S: 5S rDNA。标尺=10 μm

Plate Comparative location of rDNA on the chromosome of *A. amoyensis* and *L. crocea*

1, 2, 3: metaphases of *A. amoyensis*; 4, 5, 6: metaphases of *L. crocea*; 7: karyotype of *A. amoyensis*; 8: karyotype of *L. crocea*. 18S: 18S rDNA, 5S: 5S rDNA. Bars represent 10 μm